

Katowice, dn. 2023-03-29

T-Mobile Polska S.A.  
ul. Marynarska 12  
02-674 Warszawa

**Starostwo Powiatowe w Nowym Sączu**

**ul. Jagiellońska 33**

**33-300 Nowy Sącz**

**Dotyczy:** ustawowego obowiązku, wynikającego z art. 152 ust. 1 i ust. 7 w związku z ust. 6 pkt 1c ustawy z dnia 27 kwietnia 2001r – Prawo ochrony środowiska (Dz.U. 2022 poz. 2556).

Działając z upoważnienia T-Mobile Polska S.A. z siedzibą ul. Marynarska 12, 02-674 Warszawa, **informuję o zmianie danych w zakresie wielkości i rodzaju emisji** dla instalacji radiokomunikacyjnej **57153 (26153N!) KNO\_LABOWA\_MACIEJOWA** zlokalizowanej w miejscowości ŁABOWIEC 31. W stosunku do informacji zawartej w zgłoszeniu realizowanym dla tej instalacji w trybie art. 152 ust. 1 i 5 ustawy z dnia 27 kwietnia 2001r – Prawo ochrony środowiska (Dz.U. 2022 poz. 2556), dane ulegają zmianie w następujący sposób:

**9. Wielkość i rodzaj emisji<sup>2)</sup>:**

Pole elektromagnetyczne. EIRP poszczególnych anten zostało podane w pkt 12, tj.

| Lp. | Równoważna moc promieniowana izotropowo (EIRP) [W] |
|-----|--|
| 1.  | 18442  |
| 2.  | 4458   |
| 3.  | 18442  |
| 4.  | 4458   |
| 5.  | 5012   |

**12. Szczegółowe dane, odpowiednio do rodzaju instalacji, zgodne z wymaganiami określonymi w załączniku nr 2 do Rozporządzenia:**

| Lp. | 1)                          | 2)  | 3)   | 4)   | 5)         |   |
|-----|-----------------------------|---|--|--|------------|---|
|     | Współrzędne geograficzne    | Częstotliwość lub zakresy częstotliwości pracy instalacji [MHz] | Wysokość środka elektrycznego anteny [m n.p.t] | Równoważna moc promieniowana izotropowo (EIRP) [W] | Azymut [°] | Kąt pochylenia lub zakresy kątów pochylenia [°] |
| 1.  | 20°50'33.55"<br>49°32'8.28" | 900/1800/<br>2100   | 40   | 18442  | 120        | 0/2/2   |
| 2.  | 20°50'33.57"<br>49°32'8.29" | 800   | 40   | 4458   | 120        | 2   |
| 3.  | 20°50'33.4"<br>49°32'8.38"  | 900/1800/<br>2100   | 40   | 18442  | 280        | 0/2/2   |
| 4.  | 20°50'33.42"<br>49°32'8.4"  | 800   | 40   | 4458   | 280        | 2   |
| 5.  | 20°50'33.59"<br>49°32'8.31" | 80000   | 41.3   | 5012   | 134*       | nd.   |

\*) tolerancja azymutu od -10° do + 10°.

Informuję, iż dokonane zmiany w zakresie wielkości i rodzaju emisji przedmiotowej instalacji nie powodują zmiany instalacji w sposób istotny zgodnie z art. 3 pkt 7 ustawy Poś.

W załączniku przesyłam:

1. Pełnomocnictwo
2. Kopia potwierdzenia wniesienia opłaty skarbowej.
3. Sprawozdanie z pomiarów pól elektromagnetycznych wykonanych dla celów ochrony środowiska.

Otrzymują:

1. a/a
2. adresat



Laboratorium Badań Środowiskowych  
ul. Józefa Piusa Dziekońskiego 3  
00-728 Warszawa  
e-mail: [Laboratorium@networks.pl](mailto:Laboratorium@networks.pl)



AB 419

S P R A W O Z D A N I E 715/2023/OS  
Z POMIARÓW PÓL ELEKTROMAGNETYCZNYCH  
WYKONANYCH DLA POTRZEB OCHRONY ŚRODOWISKA

Badany obiekt: Instalacja radiokomunikacyjna T-Mobile Polska S.A.

Numer i nazwa: 57153 (26153N!) KNO\_LABOWA\_MACIEJOWA

Adres: ŁABOWIEC 31, Powiat nowosądecki, WOJ. MAŁOPOLSKIE

Data wykonania pomiarów: 2023-03-07

Sprawozdanie z badań bez pisemnej zgody laboratorium nie może być powielane inaczej niż w całości.  
Wynik przedstawione w niniejszym sprawozdaniu odnoszą się wyłącznie do badanego obiektu i do warunków i konfiguracji urządzeń w dniu wykonywania pomiarów.

**1. Właściciel badanego obiektu:**

T-Mobile Polska S.A., ul. Marynarska 12, 02-674 Warszawa

**2. Zleceniodawca:**

T-Mobile Polska S.A., ul. Marynarska 12, 02-674 Warszawa

**3. Przedstawiciel zleceniodawcy:**

NetWorkS! Sp.z o.o.

**4. Zakres zlecenia:**

Wykonanie badania i opracowanie sprawozdania z pomiarów natężenia pola elektrycznego i pola magnetycznego dla instalacji radiokomunikacyjnej T-Mobile Polska S.A. zlokalizowanej w miejscowości ŁABOWIEC 31.

**5. Cel zlecenia:**

Wykonanie pomiarów pól elektromagnetycznych w otoczeniu instalacji radiokomunikacyjnej 57153 (26153N!) KNO\_LABOWA\_MACIEJOWA w odniesieniu do wymagań określonych w *Rozporządzeniu Ministra Klimatu z dnia 17 lutego 2020 r. w sprawie sposobów sprawdzania dotrzymania dopuszczalnych poziomów pól elektromagnetycznych w środowisku (Dz.U. 2022 poz. 2630)*.

**6. Pomiary zostały wykonane przez:**

**7. Informacje o źródłach pól elektromagnetycznych**

**7.1. Sposób identyfikacji badanych źródeł pól elektromagnetycznych**

Identyfikacji źródeł i parametrów technicznych dokonano na podstawie analizy dokumentacji dotyczącej zlecenia oraz obserwacji miejsca wykonywania badań.

**7.2. Opis miejsca zainstalowania anten i urządzeń technicznych. Opis obiektu badań i jego otoczenia**

Instalacja radiokomunikacyjna zlokalizowana jest na terenie ogrodzonym. Anteny zawieszono na wieży kratowej. Urządzenia sterujące oraz zasilające zainstalowano w kontenerze u podstawy wieży. Wokół instalacji znajdują się tereny zielone i zabudowa jednorodzinna. Instalacja radiokomunikacyjna jest obiektem bezobsługowym. Okresowe stanowiska pracy związane są z prowadzonymi w zależności od potrzeb konserwacjami, przeglądami, strojeniem i naprawami.

Sprawozdanie z badań bez pisemnej zgody laboratorium nie może być powielane inaczej niż w całości.  
Wynik przedstawione w niniejszym sprawozdaniu odnoszą się wyłącznie do badanego obiektu i do warunków i konfiguracji urządzeń w dniu wykonywania pomiarów.

### 7.3. Parametry techniczne źródła pola elektromagnetycznego

Dane przedstawiające maksymalne parametry pracy instalacji przekazane przez zleceniodawcę:

Parametry systemu nadawczo-odbiorczego:

| Charakterystyka promieniowania  |  | kierunkowa           |              |            |                     |   |  |
|---------------------------------|--|----------------------|--------------|------------|---------------------|---|--|
| Rzeczywisty czas pracy [h/dobę] |  | 24                   |              |            |                     |   |  |
| Warunki pracy                   |  | znamionowe           |              |            |                     |   |  |
| Rodzaj wytwarzanego pola        |  | stacjonarne          |              |            |                     |   |  |
| Lp.                             | Częstotliwość lub zakresy częstotliwości pracy [MHz] | Typ/producent anteny | liczba anten | Azymut [°] | kąt pochylenia* [°] | Wysokość środka elektrycznego anteny [m n.p.t.] | Równoważna moc promieniowana izotropowo (EIRP) [W] |
| 1                               | 900/1800/2100  | ATR4518R11v06 Huawei | 1            | 120        | 0/2/2               | 40  | 18442  |
| 2                               | 800  | ATR4518R11v06 Huawei | 1            | 120        | 2                   | 40  | 4458   |
| 3                               | 900/1800/2100  | ATR4518R11v06 Huawei | 1            | 280        | 0/2/2               | 40  | 18442  |
| 4                               | 800  | ATR4518R11v06 Huawei | 1            | 280        | 2                   | 40  | 4458   |

\* wskazane wartości kąta pochylenia anten, zgodnie z informacją uzyskaną od zleceniodawcy, są wartościami stałymi

Parametry radiolinii:

| Charakterystyka promieniowania  |                                     | kierunkowa                |  |                   |                     |            |                                   |
|---------------------------------|-------------------------------------|---------------------------|--|-------------------|---------------------|------------|-----------------------------------|
| Rzeczywisty czas pracy [h/dobę] |                                     | 24                        |  |                   |                     |            |                                   |
| Warunki pracy                   |                                     | znamionowe                |  |                   |                     |            |                                   |
| Rodzaj wytwarzanego pola        |                                     | stacjonarne               |  |                   |                     |            |                                   |
| Lp.                             | Linia radiowa                       |                           |  | Antena            |                     |            |                                   |
|                                 | Typ/ Producent                      | Częstotliwość pracy [GHz] | Równoważna moc promieniowana izotropowo (EIRP) [W] | Typ/ producent    | Średnica anteny [m] | Azymut [°] | Wysokość zainstalowania n.p.t [m] |
| 1.                              | RTN 380AX DC 70/80GHz 250MHz Huawei | 80                        | 5012   | A80D06M-3X Huawei | 0.6                 | 134        | 41.3                              |

### 7.4 Inne źródła pól elektromagnetycznych

Na podstawie informacji otrzymanych od użytkownika oraz obserwacji otoczenia miejsca wykonywania pomiarów stwierdzono występowanie innych źródeł pola-EM, pracujących w systemie: telefonii komórkowej (800MHz-2600MHz), linii radiowych (5GHz – 90GHz), które istotnie wpływają na wyniki pomiarów.

## 8. Opis pomiarów

### 8.1. Metoda badań

Zgodna z rozporządzeniem Ministra Klimatu z dnia 17 lutego 2020 r. w sprawie sposobów sprawdzania dotrzymania dopuszczalnych poziomów pól elektromagnetycznych w środowisku (Dz.U. 2022 poz. 2630), określona w pkt 25 ppkt 1 załącznika do niniejszego rozporządzenia.

Zgodnie z art. 122a ust. 1b ustawy Prawo Ochrony Środowiska, w przypadku wprowadzenia na części albo całym terytorium Rzeczypospolitej Polskiej stanu nadzwyczajnego, o którym mowa w art. 228 ust. 1 Konstytucji Rzeczypospolitej Polskiej z dnia 2 kwietnia 1997 r. (Dz. U. poz. 483, z 2001 r. poz. 319, z 2006 r. poz. 1471 oraz z 2009 r. poz. 946), lub stanu zagrożenia epidemicznego lub stanu epidemii, o których mowa w art. 46 ustawy z dnia 5 grudnia 2008 r. o zapobieganiu oraz zwalczaniu zakażeń i chorób zakaźnych u ludzi (Dz. U. 2022, poz. 1657), pomiarów, nie przeprowadza się w lokalach mieszkalnych oraz w lokalach użytkowych zlokalizowanych na terytorium objętym stanem nadzwyczajnym, stanem zagrożenia epidemicznego lub stanem epidemii.

Sprawozdanie z badań bez pisemnej zgody laboratorium nie może być powielane inaczej niż w całości. Wynik przedstawione w niniejszym sprawozdaniu odnoszą się wyłącznie do badanego obiektu i do warunków i konfiguracji urządzeń w dniu wykonywania pomiarów.

W związku z obecnie obowiązującym stanem zagrożenia epidemicznego, pomiarów nie wykonano w lokalach mieszkalnych oraz w lokalach użytkowych zlokalizowanych w obszarze pomiarowym przedmiotowej instalacji radiokomunikacyjnej.

## 8.2. Termin pomiarów i warunki środowiskowe

Podczas wykonywania pomiarów pól elektromagnetycznych nie występowały opady atmosferyczne. Wyniki pomiaru parametrów pogodowych przedstawia poniższa tabela:

| Data<br>[rrrr-mm-dd] | Godzina<br>[hh:mm-hh:mm] | Warunki środowiskowe |              |                         |              |
|----------------------|--------------------------|----------------------|--------------|-------------------------|--------------|
|                      |                          | Temperatura [°C]     |              | Wilgotność względna [%] |              |
| 2023-03-07           | 11:10-12:10              | Przed pomiarem       | Po pomiarach | Przed pomiarem          | Po pomiarach |
|                      |                          | 6.4                  | 6.7          | 61.2                    | 64.2         |

Przedstawione wyżej warunki środowiskowe, występujące podczas wykonywania pomiarów pól elektromagnetycznych, są zgodne ze specyfikacją techniczną użytego zestawu pomiarowego.

## 8.3. Warunki pracy urządzeń nadawczych

Podczas pomiarów w przypadku uzyskania wyniku pomiaru szerokopasmowego wykonanego zastosowaną metodą, dla zakresów częstotliwości od 10 MHz do 300 GHz, powiększonego o rozszerzoną niepewność pomiaru  $U$  dla współczynnika rozszerzenia  $k = 2$  przekraczającego 70% najniższej dopuszczalnej wartości składowej elektrycznej lub magnetycznej pola dla objętych pomiarami zakresów częstotliwości, uwzględnia się poprawki pomiarowe przekazane przez zleceniodawcę, umożliwiające uwzględnienie maksymalnych parametrów pracy instalacji zgodnie z pkt 7 załącznika do Rozporządzeniem Ministra Klimatu z dnia 17 lutego 2020 r. w sprawie sposobów sprawdzania dotrzymania dopuszczalnych poziomów pól elektromagnetycznych w środowisku (Dz. U. 2022, poz. 2630) zaznaczając, że wymagane jest wykonanie pomiaru z wykorzystaniem miernika selektywnego. W przypadku uzyskania wyniku pomiaru szerokopasmowego wykonanego zastosowaną metodą, dla zakresów częstotliwości od 10 MHz do 300 GHz, powiększonego o rozszerzoną niepewność pomiaru  $U$  dla współczynnika rozszerzenia  $k = 2$  nieprzekraczającego 70% najniższej dopuszczalnej wartości składowej elektrycznej lub magnetycznej pola dla objętych pomiarami zakresów częstotliwości, nie uwzględnia się poprawek pomiarowych.

## 8.4. Wyposażenie pomiarowe

Zestaw pomiarowy służący do pomiaru natężenia składowej elektrycznej pola elektromagnetycznego złożony z szerokopasmowego miernika i sondy pomiarowej:

| Oznaczenie miernika | Producent                  | Model                                    | Numer fabryczny | Oznaczenie sondy | Producent                  | Model        | Numer fabryczny |
|---------------------|----------------------------|--|-----------------|------------------|----------------------------|--------------|-----------------|
| M-06                | Narda Safety Test Solution | Miernik pól elektromagnetycznych NBM-550 | F-0208          | S-05             | Narda Safety Test Solution | Sonda EF6092 | A-0055          |

Mierniki natężenia pola elektromagnetycznego podlegają okresowemu sprawdzeniu zgodnie z procedurą wewnętrzną P-03 i PB-01. Świadectwo wzorcowania zestawu pomiarowego z dnia 22 lutego 2022 o numerze LWiMP/W/057/22 wydane przez Politechnika Wrocławską.

Data ważności świadectwa wzorcowania: 22 lutego 2024 (zgodnie z procedurą wewnętrzną P-03).

| Oznaczenie miernika | Producent                  | Model                                    | Numer fabryczny | Oznaczenie sondy | Producent                  | Model                        | Numer fabryczny |
|---------------------|----------------------------|--|-----------------|------------------|----------------------------|------------------------------|-----------------|
| M-06                | Narda Safety Test Solution | Miernik pól elektromagnetycznych NBM-550 | F-0208          | S-25             | Narda Safety Test Solution | Sonda pomiarowa Narda EF0391 | D-1518          |

Mierniki natężenia pola elektromagnetycznego podlegają okresowemu sprawdzeniu zgodnie z procedurą wewnętrzną P-03 i PB-01. Świadectwo wzorcowania zestawu pomiarowego z dnia 22 lutego 2022 o numerze LWiMP/W/057/22 wydane przez Politechnika Wrocławską.

Data ważności świadectwa wzorcowania: 22 lutego 2024 (zgodnie z procedurą wewnętrzną P-03).

Termohigrometr:

|             |       |            |                    |        |                       |
|-------------|-------|------------|--------------------|--------|-----------------------|
| Oznaczenie: | TH-17 | Producent: | AZ INSTRUMENT CORP | Model: | Termohigrometr AZ8706 |
|-------------|-------|------------|--------------------|--------|-----------------------|

Data ważności świadectwa wzorcowania: 19 maja 2024 (zgodnie z procedurą wewnętrzną P-03).

Sprawozdanie z badań bez pisemnej zgody laboratorium nie może być powielane inaczej niż w całości.  
Wynik przedstawione w niniejszym sprawozdaniu odnoszą się wyłącznie do badanego obiektu i do warunków i konfiguracji urządzeń w dniu wykonywania pomiarów.

Dalmierz:

| Oznaczenie | Producent | Typ                       | Numer seryjny | Nr świadectwa wzorcowania | Data świadectwa wzorcowania |
|------------|-----------|---------------------------|---------------|---------------------------|-----------------------------|
| D-12       | Leica     | Dalmierz Leica Disto D510 | 1050632837    | 4665.2-M11-4180-1748/15   | 27 listopada 2015           |

Data ważności świadectwa wzorcowania: 27 listopada 2025 (zgodnie z procedurą wewnętrzną P-03).

## 9. Wyniki pomiarów

### Pole elektryczne

| Nr pionu | Opis umiejscowienia pionu (punktu pomiarowego)                    | Wysokość pomiaru [m] | Zmierzona wartość natężenia pola elektrycznego E [V/m] <sup>1,5</sup> |            |       | Wartość natężenia pola elektrycznego powiększona o niepewność pomiaru <sup>4</sup> E [V/m] | Wskaźnikowa wartość poziomu emisji pól elektromagnetycznych WME <sup>3</sup> | Współrzędne geograficzne pionu (punktu pomiarowego) <sup>2</sup> |
|----------|---|----------------------|---|------------|-------|--|--|--|
|          |   |                      | Sonda S-05  | Sonda S-25 | SUMA  |  |  |  |
| 1        | GKP w odległości 8m od anteny sektorowej az. 280°                 | 0.3-2.0              | <1.0*   | <1.0*      | <1.0* | 1.3  | 0.05   | 49°32'8.5"<br>20°50'33.0"  |
| 2        | GKP w odległości 32m od anteny sektorowej az. 280°                | 0.3-2.0              | <1.0*   | <1.0*      | <1.0* | 1.3  | 0.05   | 49°32'8.5"<br>20°50'31.9"  |
| 3        | GKP w odległości 60m od anteny sektorowej az. 280°                | 0.3-2.0              | <1.0*   | <1.0*      | <1.0* | 1.3  | 0.05   | 49°32'8.9"<br>20°50'30.5"  |
| 4        | GKP w odległości 89m od anteny sektorowej az. 280°                | 0.3-2.0              | <1.0*   | <1.0*      | <1.0* | 1.3  | 0.05   | 49°32'8.9"<br>20°50'29.0"  |
| 5        | GKP w odległości 13m od anteny sektorowej az. 120°                | 0.3-2.0              | <1.0*   | <1.0*      | <1.0* | 1.3  | 0.05   | 49°32'8.2"<br>20°50'34.1"  |
| 6        | GKP w odległości 33m od anteny sektorowej az. 120°                | 0.3-2.0              | <1.0*   | <1.0*      | <1.0* | 1.3  | 0.05   | 49°32'7.8"<br>20°50'35.2"  |
| 7        | GKP w odległości 60m od anteny sektorowej az. 120°                | 0.3-2.0              | <1.0*   | <1.0*      | <1.0* | 1.3  | 0.05   | 49°32'7.4"<br>20°50'36.2"  |
| 8        | GKP w odległości 83m od anteny sektorowej az. 120°                | 0.3-2.0              | <1.0*   | <1.0*      | <1.0* | 1.3  | 0.05   | 49°32'7.1"<br>20°50'37.3"  |
| 9        | GKP w odległości 11m od anteny radioliniowej az. 134°             | 0.3-2.0              | <1.0*   | <1.0*      | <1.0* | 1.3  | 0.05   | 49°32'8.2"<br>20°50'34.1"  |
| 10       | GKP w odległości 48m od anteny radioliniowej az. 134°             | 0.3-2.0              | <1.0*   | <1.0*      | <1.0* | 1.3  | 0.05   | 49°32'7.1"<br>20°50'35.2"  |
| 11       | PKP na az. 25° w odległości 35m od anteny sektorowej az. 120°     | 0.3-2.0              | <1.0*   | <1.0*      | <1.0* | 1.3  | 0.05   | 49°32'9.2"<br>20°50'34.4"  |
| 12       | PKP na az. 203° w odległości 34m od anteny radioliniowej az. 134° | 0.3-2.0              | <1.0*   | <1.0*      | <1.0* | 1.3  | 0.05   | 49°32'7.4"<br>20°50'33.0"  |
| 13       | PKP na az. 98° w odległości 45m od anteny sektorowej az. 120°     | 0.3-2.0              | <1.0*   | <1.0*      | <1.0* | 1.3  | 0.05   | 49°32'8.2"<br>20°50'35.9"  |
| -        | GKP w odległości 465m od anteny                                   | 0.3-2.0              | <1.0*   | <1.0*      | <1.0* | 1.3  | 0.05   | 49°32'11.0"<br>20°50'10.7"                                       |

Sprawozdanie z badań bez pisemnej zgody laboratorium nie może być powielane inaczej niż w całości.  
Wynik przedstawione w niniejszym sprawozdaniu odnoszą się wyłącznie do badanego obiektu i do warunków i konfiguracji urządzeń w dniu wykonywania pomiarów.

|   |   |         |       |       |       |     |      |                           |
|---|---|---------|-------|-------|-------|-----|------|---------------------------|
|   | sektorowej az. 280°                                 |         |       |       |       |     |      |                           |
| - | GKP w odległości 458m od anteny sektorowej az. 120° | 0.3-2.0 | <1.0* | <1.0* | <1.0* | 1.3 | 0.05 | 49°32'1.0"<br>20°50'53.2" |

Pole magnetyczne (wyznaczone na podstawie pomiaru wartości natężenia pola elektrycznego)

| Nr pionu | Opis umiejscowienia pionu (punktu) pomiarowego                    | Wysokość pomiaru [m] | Wartość natężenia pola magnetycznego H [A/m] <sup>1</sup> |            |         | Wartość natężenia pola magnetycznego powiększona o niepewność pomiaru <sup>4</sup> H [A/m] | Wskaźnikowa wartość poziomu emisji pól elektromagnetycznych WM <sub>H</sub> <sup>3</sup> | Współrzędne geograficzne pionu (punktu) pomiarowego <sup>2</sup> |
|----------|---|----------------------|---|------------|---------|--|--|--|
|          |   |                      | Sonda S-05  | Sonda S-25 | SUMA    |  |  |  |
| 1        | GKP w odległości 8m od anteny sektorowej az. 280°                 | 0.3-2.0              | <0.003*   | <0.003*    | <0.003* | 0.003  | 0.05   | 49°32'8.5"<br>20°50'33.0"  |
| 2        | GKP w odległości 32m od anteny sektorowej az. 280°                | 0.3-2.0              | <0.003*   | <0.003*    | <0.003* | 0.003  | 0.05   | 49°32'8.5"<br>20°50'31.9"  |
| 3        | GKP w odległości 60m od anteny sektorowej az. 280°                | 0.3-2.0              | <0.003*   | <0.003*    | <0.003* | 0.003  | 0.05   | 49°32'8.9"<br>20°50'30.5"  |
| 4        | GKP w odległości 89m od anteny sektorowej az. 280°                | 0.3-2.0              | <0.003*   | <0.003*    | <0.003* | 0.003  | 0.05   | 49°32'8.9"<br>20°50'29.0"  |
| 5        | GKP w odległości 13m od anteny sektorowej az. 120°                | 0.3-2.0              | <0.003*   | <0.003*    | <0.003* | 0.003  | 0.05   | 49°32'8.2"<br>20°50'34.1"  |
| 6        | GKP w odległości 33m od anteny sektorowej az. 120°                | 0.3-2.0              | <0.003*   | <0.003*    | <0.003* | 0.003  | 0.05   | 49°32'7.8"<br>20°50'35.2"  |
| 7        | GKP w odległości 60m od anteny sektorowej az. 120°                | 0.3-2.0              | <0.003*   | <0.003*    | <0.003* | 0.003  | 0.05   | 49°32'7.4"<br>20°50'36.2"  |
| 8        | GKP w odległości 83m od anteny sektorowej az. 120°                | 0.3-2.0              | <0.003*   | <0.003*    | <0.003* | 0.003  | 0.05   | 49°32'7.1"<br>20°50'37.3"  |
| 9        | GKP w odległości 11m od anteny radioliniowej az. 134°             | 0.3-2.0              | <0.003*   | <0.003*    | <0.003* | 0.003  | 0.05   | 49°32'8.2"<br>20°50'34.1"  |
| 10       | GKP w odległości 48m od anteny radioliniowej az. 134°             | 0.3-2.0              | <0.003*   | <0.003*    | <0.003* | 0.003  | 0.05   | 49°32'7.1"<br>20°50'35.2"  |
| 11       | PKP na az. 25° w odległości 35m od anteny sektorowej az. 120°     | 0.3-2.0              | <0.003*   | <0.003*    | <0.003* | 0.003  | 0.05   | 49°32'9.2"<br>20°50'34.4"  |
| 12       | PKP na az. 203° w odległości 34m od anteny radioliniowej az. 134° | 0.3-2.0              | <0.003*   | <0.003*    | <0.003* | 0.003  | 0.05   | 49°32'7.4"<br>20°50'33.0"  |

Sprawozdanie z badań bez pisemnej zgody laboratorium nie może być powielane inaczej niż w całości.  
Wynik przedstawione w niniejszym sprawozdaniu odnoszą się wyłącznie do badanego obiektu i do warunków i konfiguracji urządzeń w dniu wykonywania pomiarów.



|    |   |         |         |         |         |       |      |                            |
|----|---|---------|---------|---------|---------|-------|------|----------------------------|
| 13 | PKP na az. 98°<br>w odległości<br>45m od anteny<br>sektorowej az.<br>120° | 0.3-2.0 | <0.003* | <0.003* | <0.003* | 0.003 | 0.05 | 49°32'8.2"<br>20°50'35.9"  |
| -  | GKP w<br>odległości<br>465m od<br>anteny<br>sektorowej az.<br>280°        | 0.3-2.0 | <0.003* | <0.003* | <0.003* | 0.003 | 0.05 | 49°32'11.0"<br>20°50'10.7" |
| -  | GKP w<br>odległości<br>458m od<br>anteny<br>sektorowej az.<br>120°        | 0.3-2.0 | <0.003* | <0.003* | <0.003* | 0.003 | 0.05 | 49°32'1.0"<br>20°50'53.2"  |

GKP – Główny Kierunek Pomiarowy

PKP – Pomocniczy Kierunek Pomiarowy

<sup>1</sup> wyniki oznaczone \* są wynikami poniżej czułości zestawu pomiarowego

<sup>2</sup> współrzędne geograficzne pozyskane metodą pomiaru bezpośredniego

<sup>3</sup> do wyznaczenia wartości wskaźnikowej  $W_{ME}$  i  $W_{MH}$  przyjęto na podstawie uzgodnień z klientem oraz rozpoznania źródeł, jako wartości dopuszczalne pola elektrycznego i magnetycznego odpowiednio 28 V/m i 0,073 A/m.

<sup>4</sup> do wyznaczenia niepewności dla wyników poniżej czułości zestawu pomiarowego, przyjęto niepewność dla minimalnej wartości z zakresu pomiarowego.

<sup>5</sup> maksymalna wartość chwilowa

Niepewność oszacowano zgodnie z dokumentem P-03 „Procedura nadzoru nad wyposażeniem” w postaci niepewności rozszerzonej wynikającej z niepewności standardowej pomnożonej przez współczynnik rozszerzenia  $k=2$ .

Całkowita szacowana niepewność rozszerzona składowej E wynosi odpowiednio:

sonda S-05: 29.5% dla częstotliwości do 3 GHz, sonda S-25: 27.6% dla częstotliwości do 3 GHz

Umiejscowienie pionów (punktów) pomiarowych przedstawiono w załączniku nr 2 do niniejszego sprawozdania.

## 10. Omówienie wyników pomiarów

W związku z tym, że żadna z wartości zmierzonych, udokumentowanych w tabelach w pkt. 9, uzyskanych w skutek zastosowania pomiaru szerokopasmowego, powiększonego o rozszerzoną niepewność pomiaru  $U$  dla współczynnika rozszerzenia  $k = 2$  nie przekroczyła 70% najniższej dopuszczalnej wartości składowej elektrycznej lub magnetycznej pola dla objętych pomiarami zakresów częstotliwości, nie uwzględnia się poprawek pomiarowych.

W wyniku zastosowania sposobu sprawdzenia dotrzymania dopuszczalnych poziomów pól elektromagnetycznych w środowisku, zgodnie pkt 25 ppkt 1 Rozporządzenia Ministra Klimatu z dnia 17 lutego 2020 r. (Dz. U. 2022, poz. 2630), w związku z tym, że żadna z wartości wskaźnikowych, udokumentowanych w tabelach w pkt. 9 nie przekracza wartości 1, stwierdza się, że w miejscach, w których wykonano pomiary w otoczeniu instalacji radiokomunikacyjnej 57153 (26153N!) KNO\_LABOWA\_MACIEJOWA, dopuszczalne poziomy pól elektromagnetycznych w środowisku należy uznać za dotrzymane.

## 11. Podstawa prawna

- 1) Ustawa z dnia 27 kwietnia 2001 r. Prawo ochrony środowiska (Dz.U. 2022 poz. 2556)
- 2) Rozporządzenie Ministra Zdrowia z dnia 17 grudnia 2019 r. w sprawie dopuszczalnych poziomów pól elektromagnetycznych w środowisku (Dz. U. 2019, poz. 2448)
- 3) Rozporządzenie Ministra Klimatu z dnia 17 lutego 2020 r. w sprawie sposobów sprawdzania dotrzymania dopuszczalnych poziomów pól elektromagnetycznych w środowisku (Dz. U. 2022, poz. 2630),
- 4) Akredytacja nr AB 419 wydana przez Polskie Centrum Akredytacji (wydanie 20, z dnia 10 czerwca 2022r.).

Sprawozdanie z badań bez pisemnej zgody laboratorium nie może być powielane inaczej niż w całości.

Wynik przedstawione w niniejszym sprawozdaniu odnoszą się wyłącznie do badanego obiektu i do warunków i konfiguracji urządzeń w dniu wykonywania pomiarów.

## **12. Spis załączników**

- Załącznik 1. Lokalizacja obiektu badań
- Załącznik 2. Usytuowanie pionów (punktów) pomiarowych
- Załącznik 3. Dokumentacja fotograficzna obiektu badań

## **13. Data wydania i autoryzowania sprawozdania**

Obliczenia i sprawozdanie wykonał :

Sprawozdanie autoryzował:

**Koniec sprawozdania**

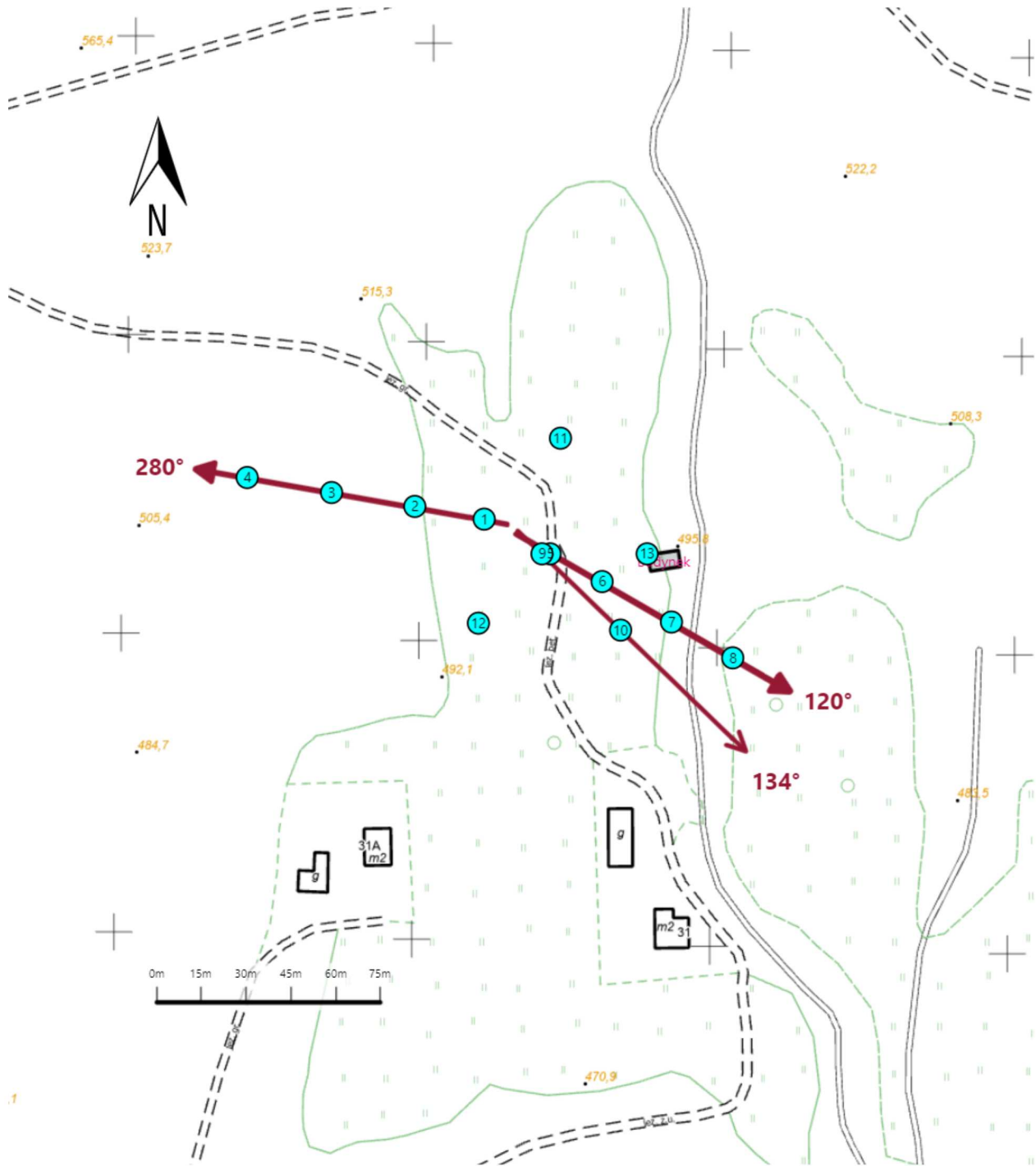
Sprawozdanie z badań bez pisemnej zgody laboratorium nie może być powielane inaczej niż w całości.  
Wynik przedstawione w niniejszym sprawozdaniu odnoszą się wyłącznie do badanego obiektu i do warunków i konfiguracji urządzeń w dniu wykonywania pomiarów.






Załącznik nr 1

Instalacja radiokomunikacyjna T-Mobile Polska S.A.  
57153 (26153N!) KNO\_LABOWA\_MACIEJOWA

Lokalizacja instalacji



|                |   |
|----------------|---|
| Załącznik nr 2 | <p style="text-align: center;"><b>Instalacja radiokomunikacyjna T-Mobile Polska S.A.</b><br/><b>KNO_LABOWA_MACIEJOWA (26153N!)</b><br/>Uytuowanie pionów pomiarowych w otoczeniu instalacji radiokomunikacyjnej</p>   |
| Legenda:       | <p style="text-align: center;"> Pion pomiarowy</p> <p style="text-align: center;"> Kierunek oddziaływania anten sektorowych</p> <p style="text-align: center;"> Kierunek oddziaływania anten radioliniowych</p> |



Załącznik nr 3

Instalacja radiokomunikacyjna T-Mobile Polska S.A.  
57153 (26153N!) KNO\_LABOWA\_MACIEJOWA

Dokumentacja fotograficzna